

Listado de artículos.

1er trimestre de 2018

Prefacio

En su afán por divulgar el conocimiento en materiales compuestos generado en España y posibilitar el establecimiento de sinergias entre los distintos centros, y entre ellos y el tejido productivo, AEMAC se propone hacer un seguimiento de los artículos que se vayan generando en revistas científicas.

El siguiente listado NO contiene todos los que se habrán generado. Ver los criterios de búsqueda al final de este documento. Este listado se ha generado a 31 de Marzo de 2018.

Listado primer trimestre de 2018

Artero-Guerrero, J. A., Pernas-Sanchez, J., Martin-Montal, J., Varas, D., & Lopez-Puente, J. (2018). The influence of laminate stacking sequence on ballistic limit using a combined Experimental/FEM/Artificial Neural Networks (ANN) methodology. *Composite Structures*, 183, 299-308.
doi:10.1016/j.compstruct.2017.03.068

Balart, J. F., Garcia-Sanoguera, D., Balart, R., Boronat, T., & Sanchez-Nacher, L. (2018). Manufacturing and properties of biobased thermoplastic composites from poly(lactid acid) and hazelnut shell wastes. *Polymer Composites*, 39(3), 848-857. doi:10.1002/pc.24007

Bittmann, B., Bouza, R., Barral, L., Bellas, R., & Cid, A. (2018). Effect of environmental factors on Poly(3-hydroxybutyrate-co-3-hydroxyvalerate)/Poly(butylene adipate-co-terephthalate)/montmorillonite nanocomposites with antimicrobial agents. *Polymer Composites*, 39(3), 915-923. doi:10.1002/pc.24018

Braun, M., Aranda-Ruiz, J., Rodriguez-Millan, M., & Loya, J. A. (2018). On the bulk modulus and natural frequency of fullerene and nanotube carbon structures obtained with a beam based method. *Composite Structures*, 187, 10-17.
doi:10.1016/j.compstruct.2017.12.038

Correa, E., Valverde, M. I., Velasco, M. L., & Paris, F. (2018). Microscopical observations of inter-fibre failure under tension. *Composites Science and Technology*, 155, 213-220. doi:10.1016/j.compscitech.2017.12.009

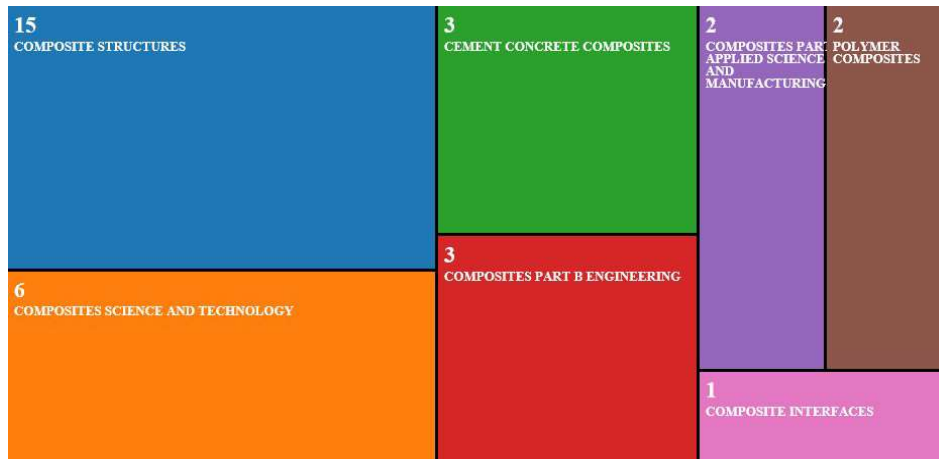
De Gracia, J., Boyano, A., Arrese, A., Mujika, F., & Materials Technologies Grp Mech, M. (2018). Analysis of DCB test of angle-ply laminates including bending-twisting coupling. *Composite Structures*, 190, 169-178.
doi:10.1016/j.compstruct.2018.02.021

- Esnaola, A., Tena, I., Saenz-Dominguez, I., Aurrekoetxea, J., Gallego, I., & Ulacia, I. (2018). Effect of the manufacturing process on the energy absorption capability of GFRP crush structures. *Composite Structures*, *187*, 316-324. doi:10.1016/j.compstruct.2017.12.079
- Espinach, F. X., Boufi, S., Delgado-Aguilar, M., Julian, F., Mutje, P., & Mendez, J. A. (2018). Composites from poly(lactic acid) and bleached chemical fibres: Thermal properties. *Composites Part B-Engineering*, *134*, 169-176. doi:10.1016/j.compositesb.2017.09.055
- Falco, O., Avila, R. L., Tijs, B., & Lopes, C. S. (2018). Modelling and simulation methodology for unidirectional composite laminates in a Virtual Test Lab framework. *Composite Structures*, *190*, 137-159. doi:10.1016/j.compstruct.2018.02.016
- Feito, N., Diaz-Alvarez, J., Lopez-Puente, J., & Miguelez, M. H. (2018). Experimental and numerical analysis of step drill bit performance when drilling woven CFRPs. *Composite Structures*, *184*, 1147-1155. doi:10.1016/j.compstruct.2017.10.061
- Fergani, H., Di Benedetti, M., Oller, C. M., Lynsdale, C., & Guadagnini, M. (2018). Long-term performance of GFRP bars in concrete elements under sustained load and environmental actions. *Composite Structures*, *190*, 20-31. doi:10.1016/j.compstruct.2018.02.002
- Fernandez, C. S. L., Pereira, N., Martins, P., & Lanceros-Mendez, S. (2018). Theoretical design of high-performance polymer-based piezoelectric of fibrillar structures. *Composites Science and Technology*, *155*, 126-136. doi:10.1016/j.compscitech.2017.11.024
- Garcia-Guzman, L., Tavares, L., Reinoso, J., Justo, J., & Paris, F. (2018). Fracture resistance of 3D printed adhesively bonded DCB composite specimens using structured interfaces: Experimental and theoretical study. *Composite Structures*, *188*, 173-184. doi:10.1016/j.compstruct.2017.12.055
- Garcia-Macias, E., Rodriguez-Tembleque, L., & Saez, A. (2018). Bending and free vibration analysis of functionally graded graphene vs. carbon nanotube reinforced composite plates. *Composite Structures*, *186*, 123-138. doi:10.1016/j.compstruct.2017.11.076
- Gomez-Monterde, J., Sanchez-Soto, M., & Maspoch, M. L. (2018). Microcellular PP/GF composites: Morphological, mechanical and fracture characterization. *Composites Part a-Applied Science and Manufacturing*, *104*, 1-13. doi:10.1016/j.compositesa.2017.10.014
- Gonzalez-Cantero, J. M., Graciani, E., Lopez-Romano, B., & Paris, F. (2018). Competing mechanisms in the unfolding failure in composite laminates. *Composites Science and Technology*, *156*, 223-230. doi:10.1016/j.compscitech.2017.12.022

- Haldar, A., Reinoso, J., Jansen, E., & Rolfes, R. (2018). Thermally induced multistable configurations of variable stiffness composite plates: Semi-analytical and finite element investigation. *Composite Structures*, *183*, 161-175. doi:10.1016/j.compstruct.2017.02.014
- Justo, J., Távora, L., García-Guzmán, L., & Paris, F. (2018). Characterization of 3D printed long fibre reinforced composites. *Composite Structures*, *185*, 537-548. doi:10.1016/j.compstruct.2017.11.052
- Khan, A., Jagdale, P., Rovere, M., Nogues, M., Rosso, C., & Tagliaferro, A. (2018). Carbon from waste source: An eco-friendly way for strengthening polymer composites. *Composites Part B-Engineering*, *132*, 87-96. doi:10.1016/j.compositesb.2017.08.016
- Kong, Q. H., Wu, T., Zhang, J. H., & Wang, D. Y. (2018). Simultaneously improving flame retardancy and dynamic mechanical properties of epoxy resin nanocomposites through layered copper phenylphosphate. *Composites Science and Technology*, *154*, 136-144. doi:10.1016/j.compscitech.2017.10.013
- Liaudat, J., Carol, I., Lopez, C. M., & Saouma, V. E. (2018). ASR expansions in concrete under triaxial confinement. *Cement & Concrete Composites*, *86*, 160-170. doi:10.1016/j.cemconcomp.2017.10.010
- Molina-Jorda, J. M. (2018). Multi-scale design of novel materials for emerging challenges in active thermal management: Open-pore magnesium-diamond composite foams with nano-engineered interfaces. *Composites Part a-Applied Science and Manufacturing*, *105*, 265-273. doi:10.1016/j.compositesa.2017.11.020
- Moreno, M. C. S., Muñoz, S. H., Gutiérrez, A. R., Rappold, C., Vicente, J. L. M., Morales-Rodríguez, P. A., & Cela, J. J. L. (2018). Pseudo-ductility in flexural testing of symmetric +/- 45 degrees angle-ply CFRP laminates. *Composites Science and Technology*, *156*, 8-18. doi:10.1016/j.compscitech.2017.12.015
- Moriche, R., Jimenez-Suarez, A., Sanchez, M., Prolongo, S. G., & Urena, A. (2018). Sensitivity, influence of the strain rate and reversibility of GNPs based multiscale composite materials for high sensitive strain sensors. *Composites Science and Technology*, *155*, 100-107. doi:10.1016/j.compscitech.2017.12.002
- Moure, M. M., Garcia-Castillo, S. K., Sanchez-Saez, S., Barbero, E., & Barbero, E. J. (2018). Matrix cracking evolution in open-hole laminates subjected to thermo-mechanical loads. *Composite Structures*, *183*, 510-520. doi:10.1016/j.compstruct.2017.05.059

- Oliveira, J., Correia, V., Costa, P., Francesko, A., Rocha, G., & Lanceros-Mendez, S. (2018). Stretchable scintillator composites for indirect X-ray detectors. *Composites Part B-Engineering*, 133, 226-231. doi:10.1016/j.compositesb.2017.09.031
- Puertas, F., Gonzalez-Fonteboa, B., Gonzalez-Taboada, I., Alonso, M. M., Torres-Carrasco, M., Rojo, G., & Martinez-Abella, F. (2018). Alkali-activated slag concrete: Fresh and hardened behaviour. *Cement & Concrete Composites*, 85, 22-31. doi:10.1016/j.cemconcomp.2017.10.003
- Rescalvo, F. J., Valverde-Palacios, I., Suarez, E., & Gallego, A. (2018). Experimental and analytical analysis for bending load capacity of old timber beams with defects when reinforced with carbon fiber strips. *Composite Structures*, 186, 29-38. doi:10.1016/j.compstruct.2017.11.078
- Soriano, A., & Diaz, J. (2018). Failure analysis of variable stiffness composite plates using continuum damage mechanics models. *Composite Structures*, 184, 1071-1080. doi:10.1016/j.compstruct.2017.10.065
- Teixeira, R. S., Tonoli, G. H. D., Santos, S. F., Rayon, E., Amigo, V., Savastano, H., & Lahr, F. A. R. (2018). Nanoindentation study of the interfacial zone between cellulose fiber and cement matrix in extruded composites. *Cement & Concrete Composites*, 85, 1-8. doi:10.1016/j.cemconcomp.2017.09.018
- Turon, A., Gonzalez, E. V., Sarrado, C., Guillamet, G., & Maimi, P. (2018). Accurate simulation of delamination under mixed-mode loading using a cohesive model with a mode-dependent penalty stiffness. *Composite Structures*, 184, 506-511. doi:10.1016/j.compstruct.2017.10.017
- Yanez-Pacios, A. J., & Martin-Martinez, J. M. (2018). Surface modification and adhesion of wood-plastic composite (WPC) treated with UV/ozone. *Composite Interfaces*, 25(2), 127-149. doi:10.1080/09276440.2017.1340042

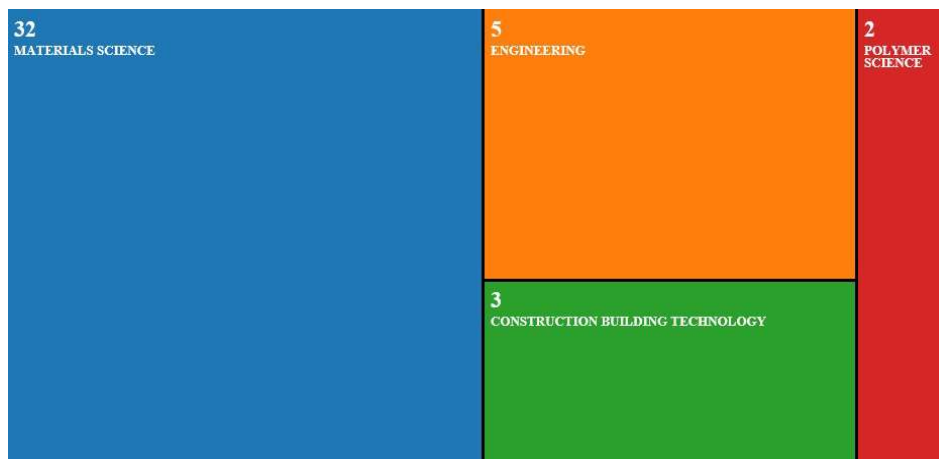
Revistas



Grupos



Áreas temáticas



Criterios de búsqueda por defecto

Los que se muestran son los que aparecen en la base de datos “*Science Citation Index Expanded (SCI-EXPANDED) from Web of Knowledge Core Collection*” de Clarivate Analytics, con las restricciones: Subject = “Materials Science, Composites” y Country = “Spain”. Por lo tanto, no aparecerán artículos de autores españoles afiliados a centros extranjeros ni artículos de composites publicados en revistas indexadas en otras materias (*subjects*).

Contribución a la ampliación de los criterios de búsqueda

Para identificar los artículos sobre materiales compuestos con autoría de centros de investigación españoles publicados en revistas indexadas en otras materias (*subjects*), los centros pueden enviar a AEMAC (administración@aemac.org) los criterios de “búsqueda avanzada” a utilizar en la base de datos antes citada que permitan identificar sin ambigüedad las publicaciones del centro. No se atenderá a la recepción de artículos individuales ni a criterios de “búsqueda avanzada” que no estén en el formato de la base de datos (el formato aceptable será el resultado de un “Saved Search” en la ventana de búsquedas avanzadas de la base de datos). El centro debe haber comprobado la fiabilidad del criterio de búsqueda (no debe generar ni artículos de otros campos ni de otros autores).

Descargo de responsabilidad

La información contenida en este listado está destinada únicamente a fines informativos con objeto de aumentar su difusión general y se ha recabado de bases de datos de terceros. Por la presente nota de descargo de responsabilidad, AEMAC declina cualquier responsabilidad por omisión o inexactitud de la información recogida en este documento.